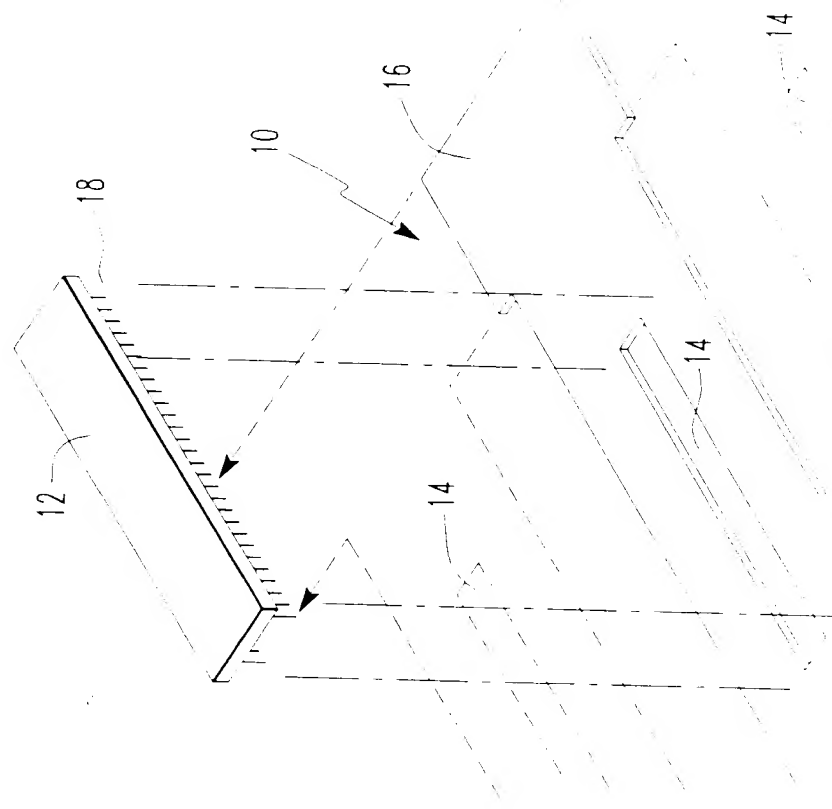


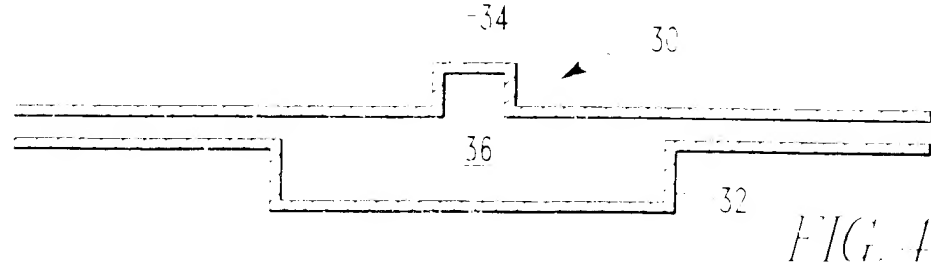
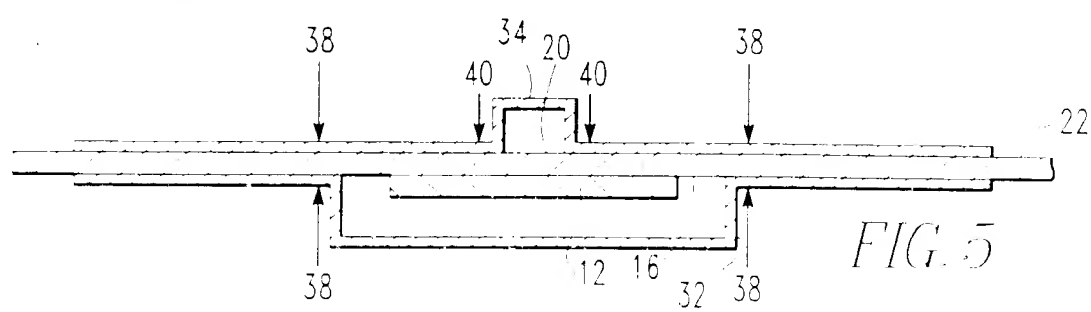
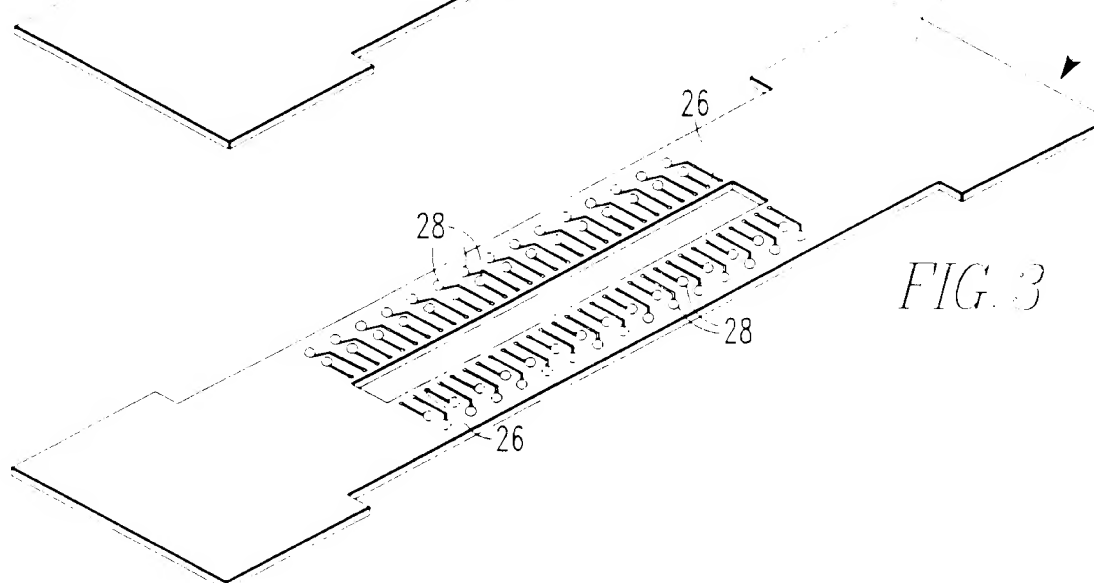
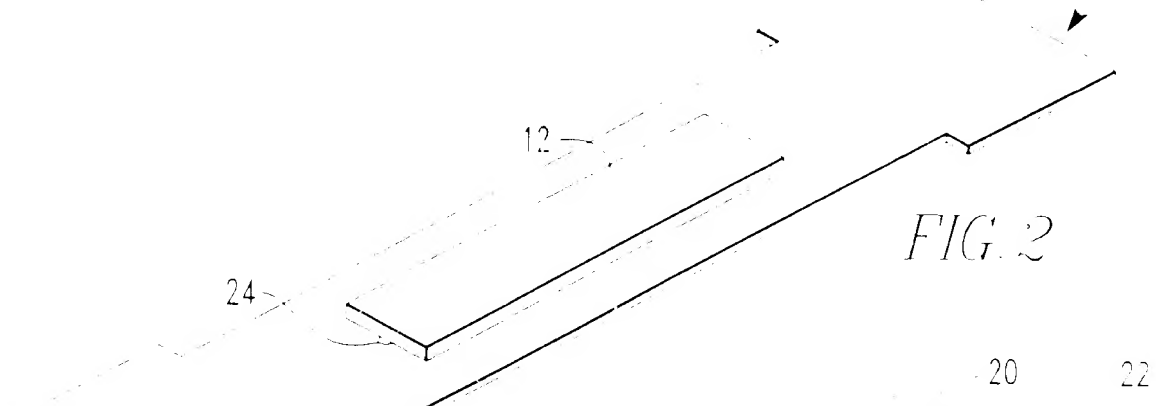
H/G/I



29

16

22



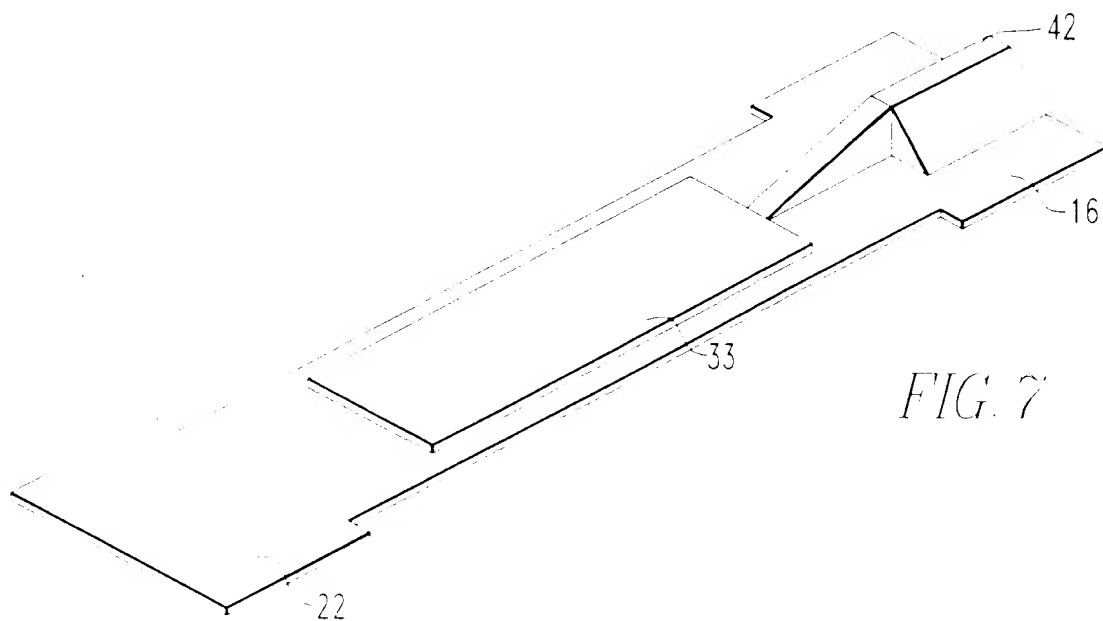
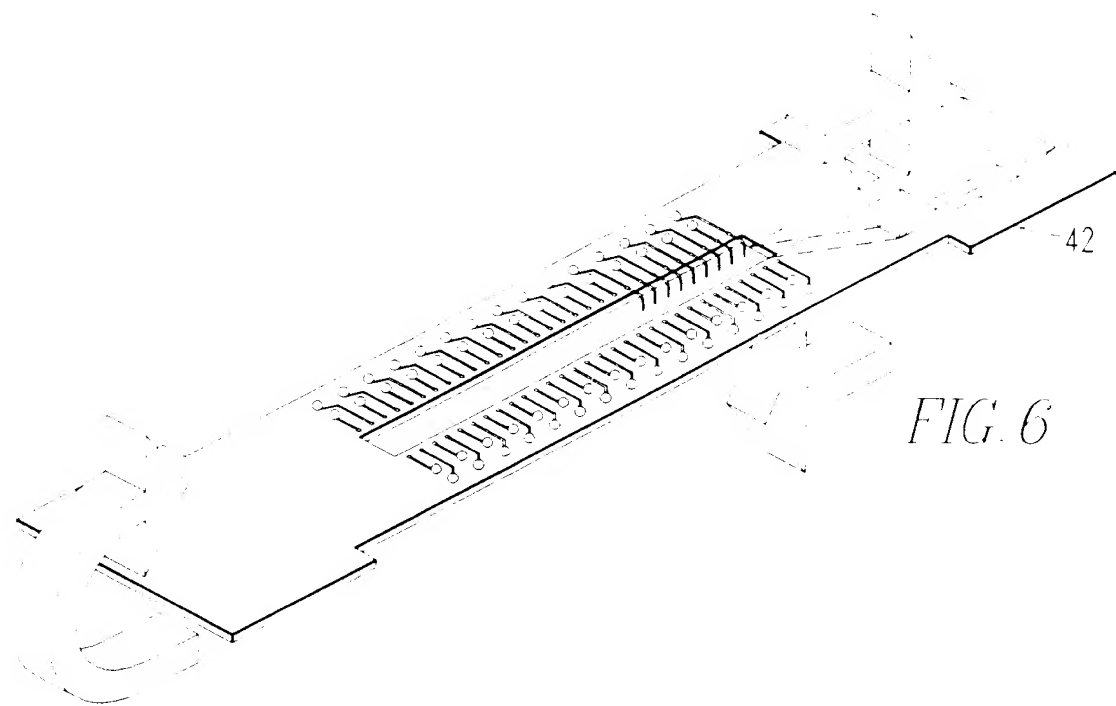


FIG. 9

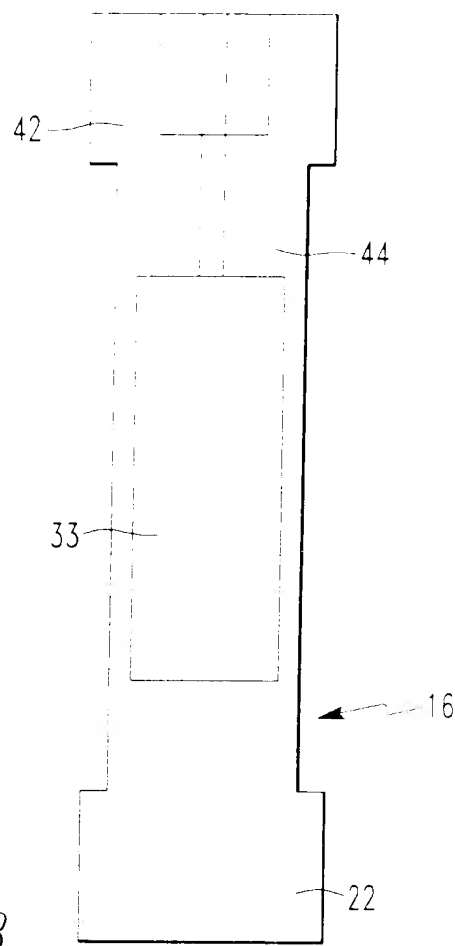
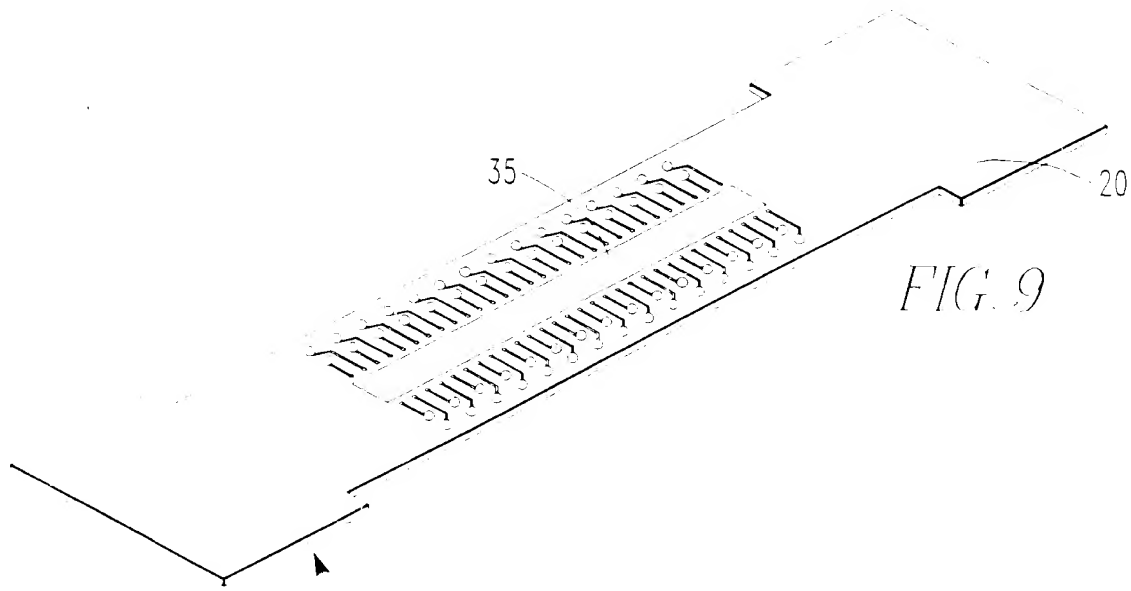
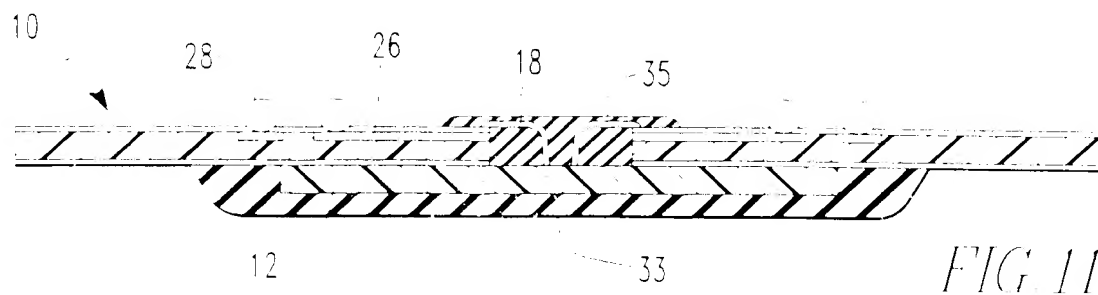
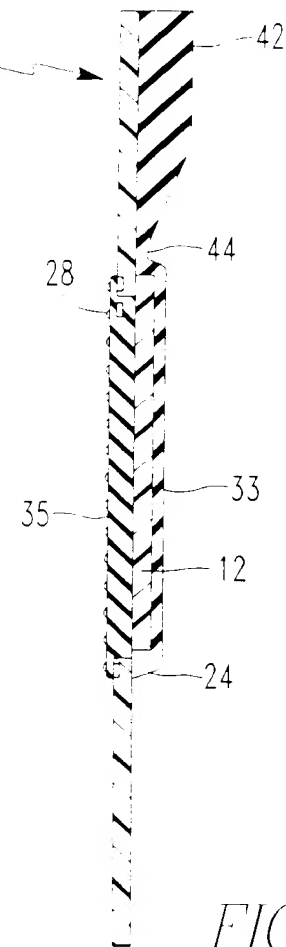
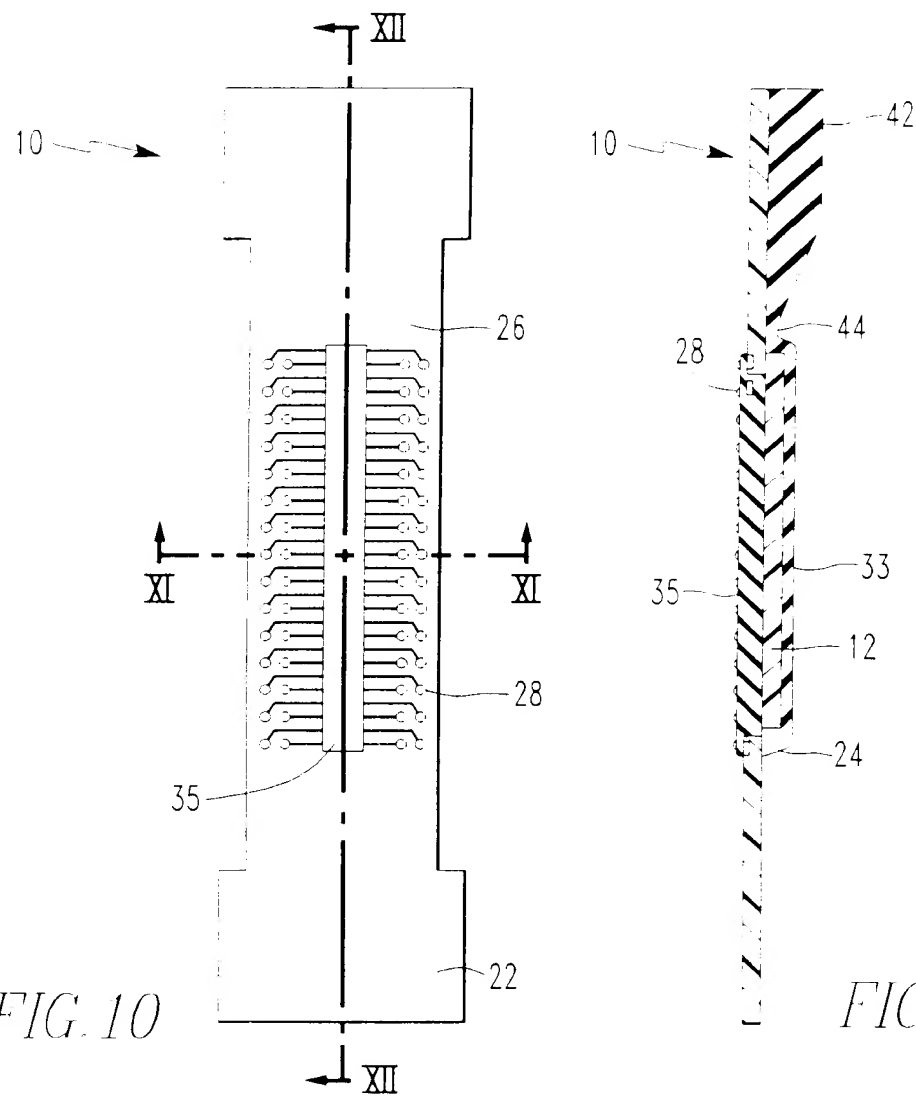


FIG. 8

FIG. 9





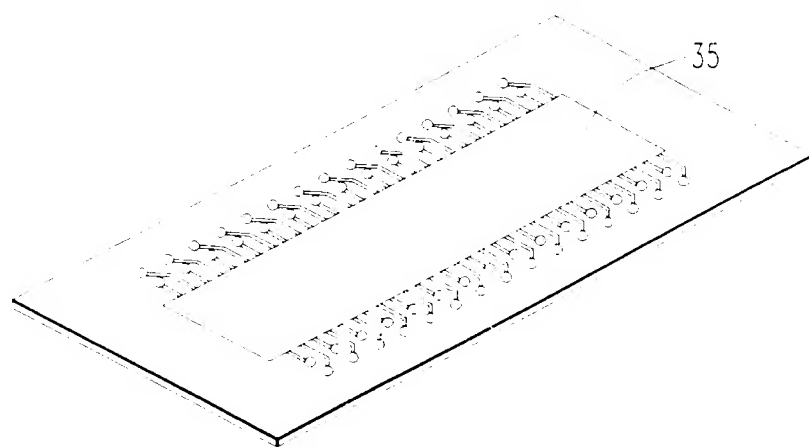


FIG. 13A

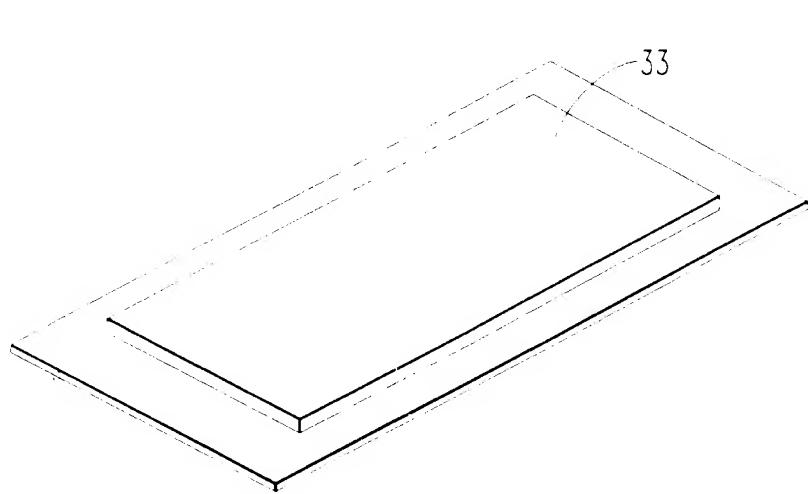


FIG. 13B

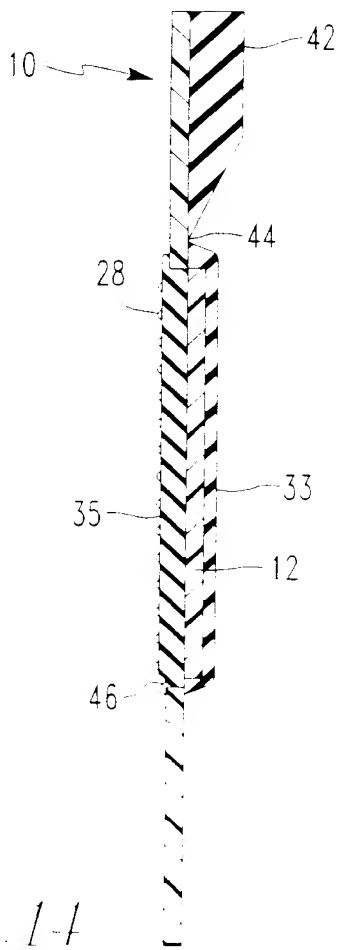


FIG. 14

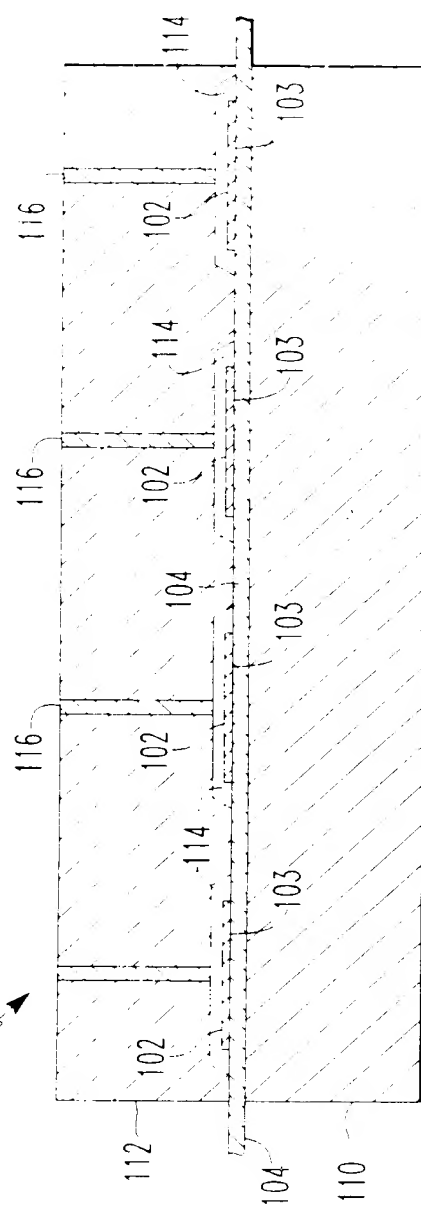
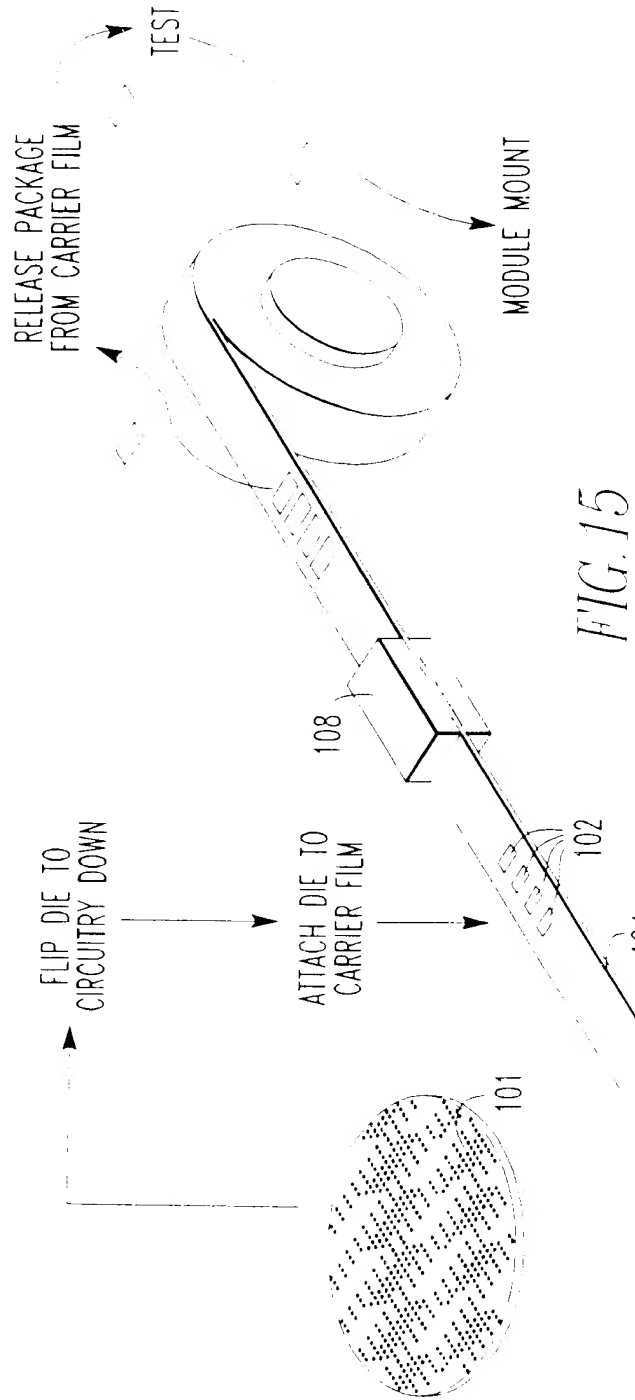


FIG. 16

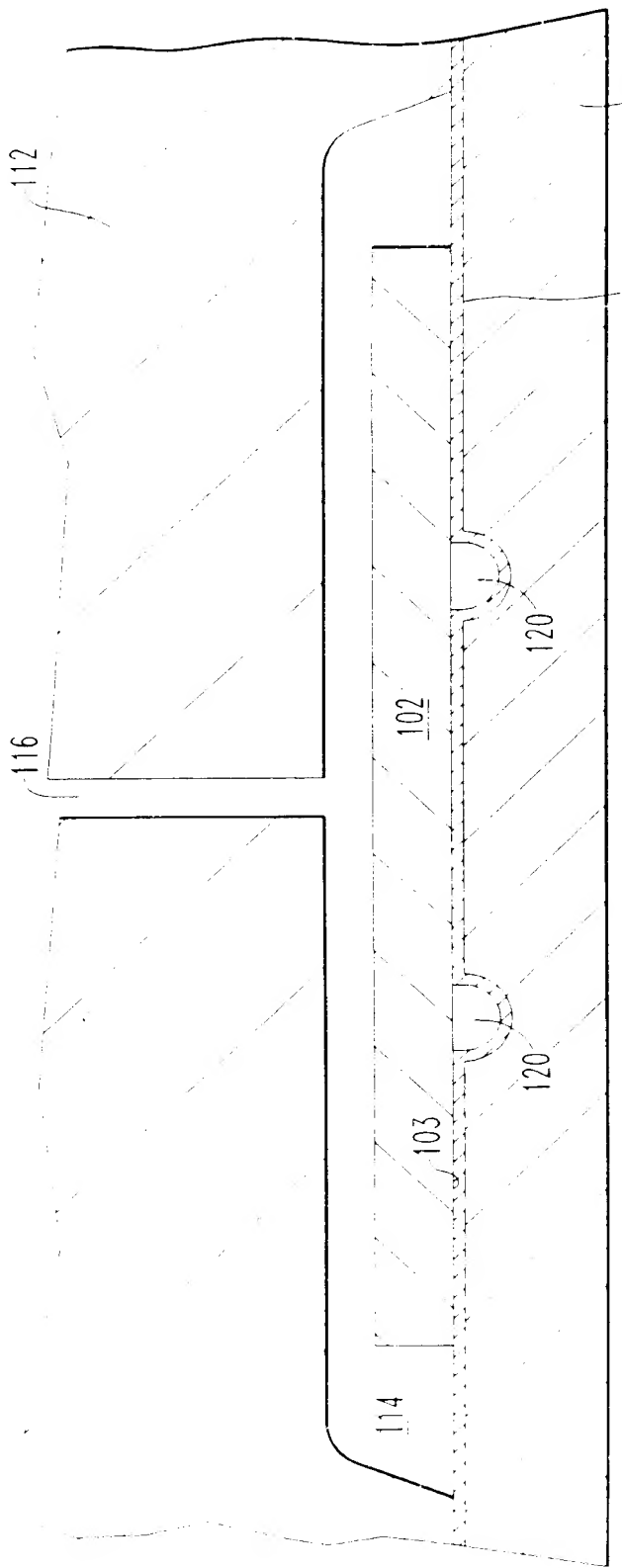


FIG. 17

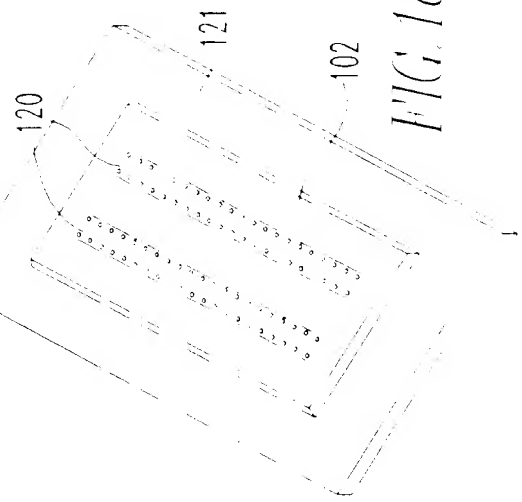
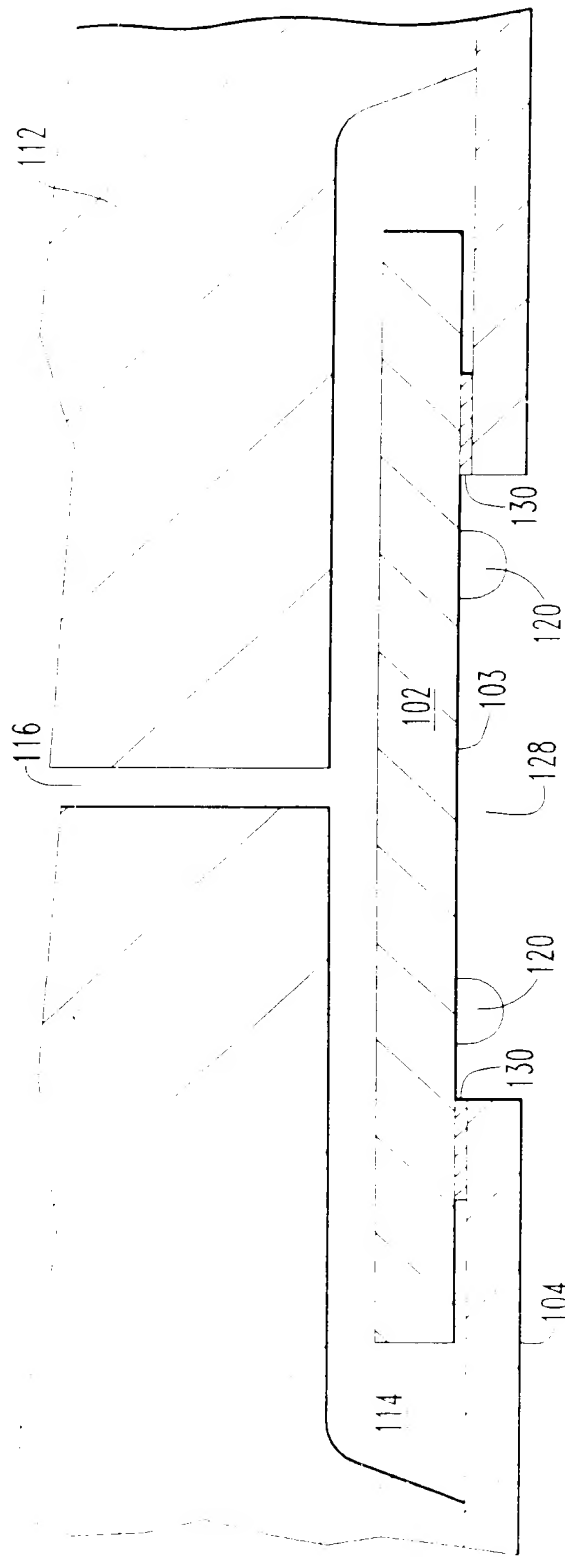


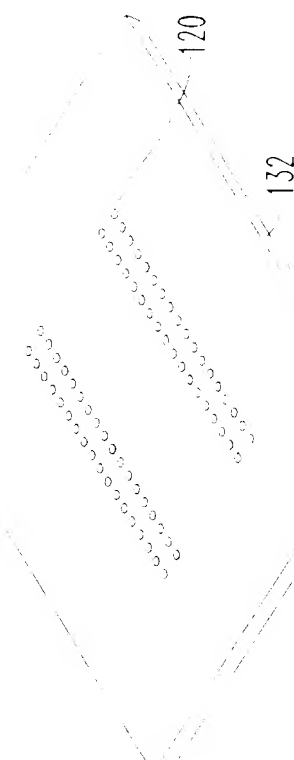
FIG. 18B

FIG. 18A

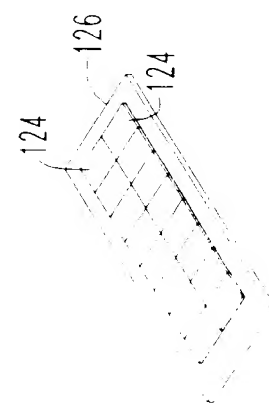
9.9



H/G.20



H/G.21



H/G.19